

Fig. 1

Fig. 2

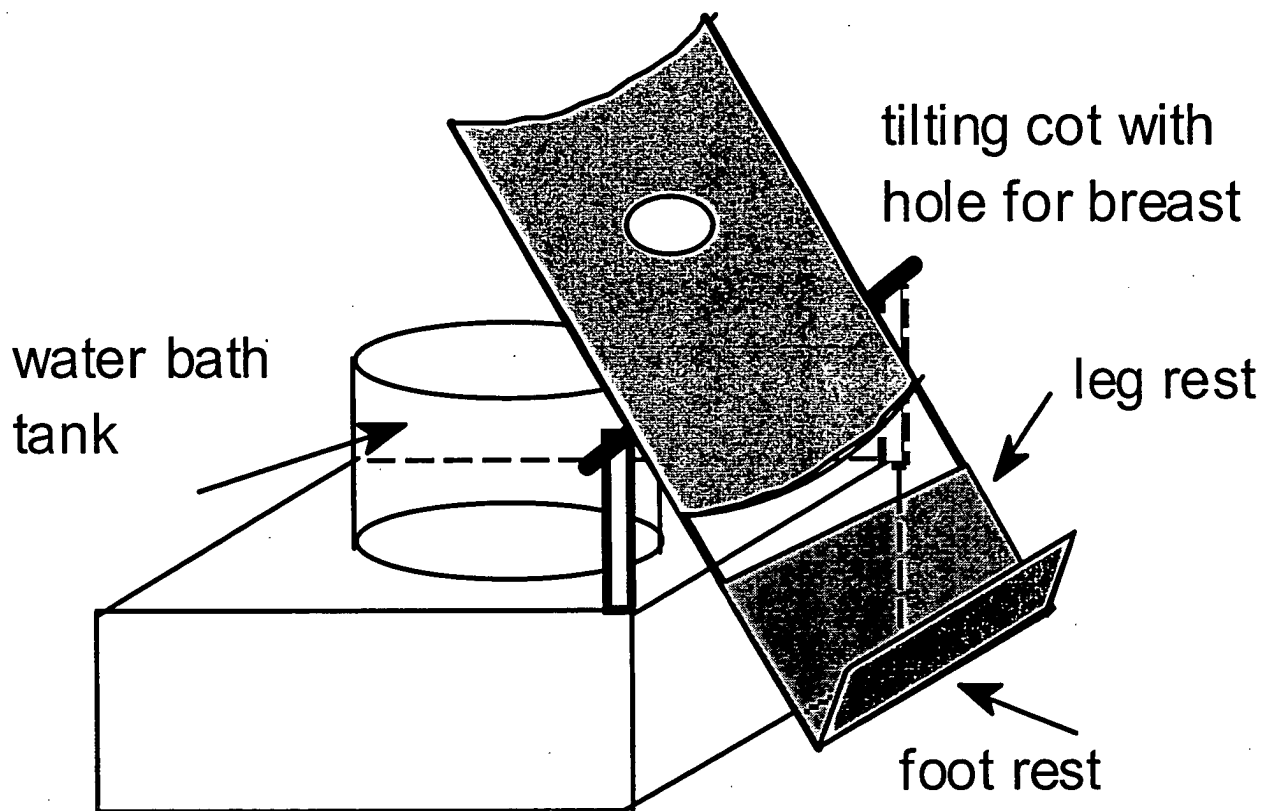
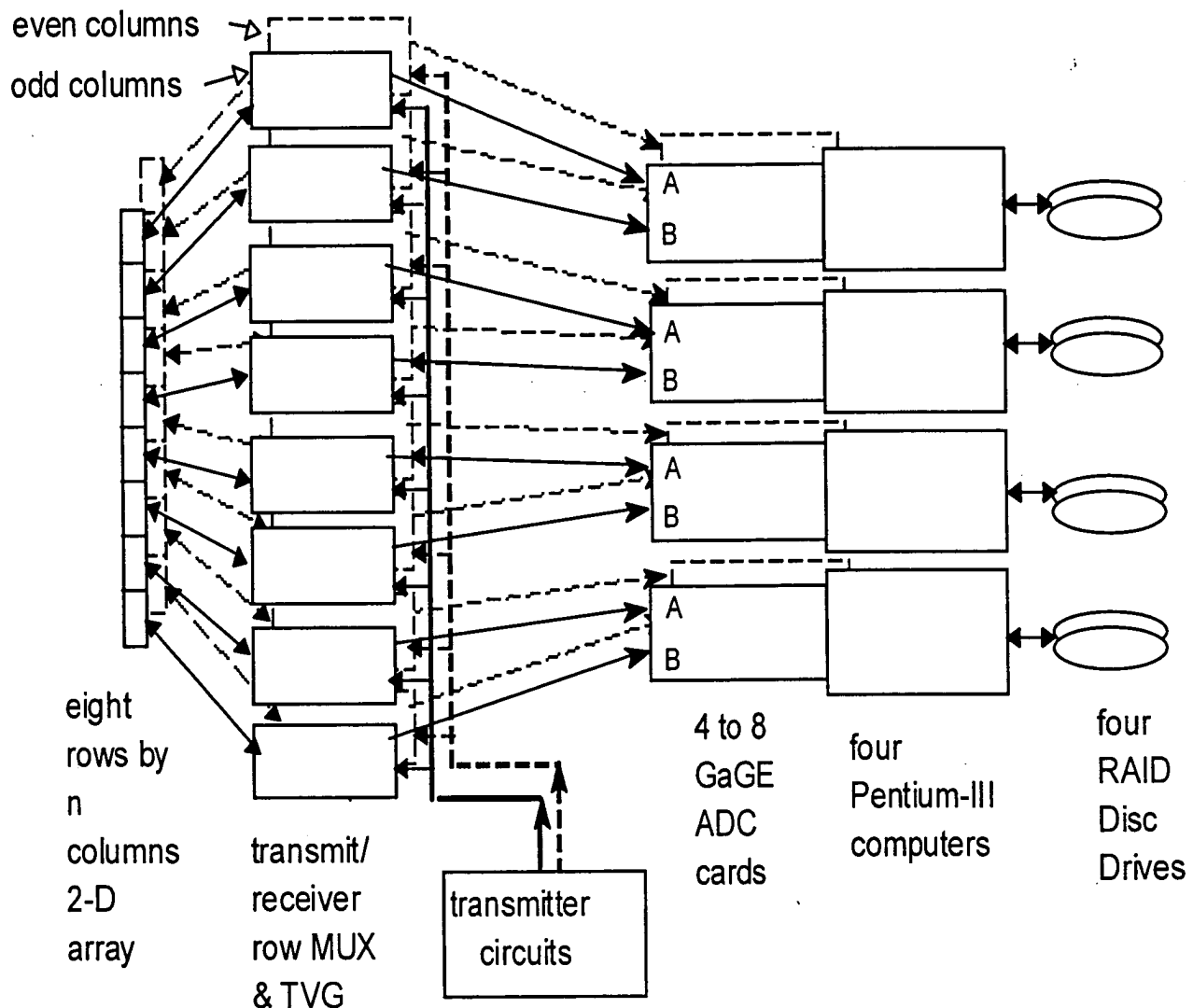


Fig. 3.a



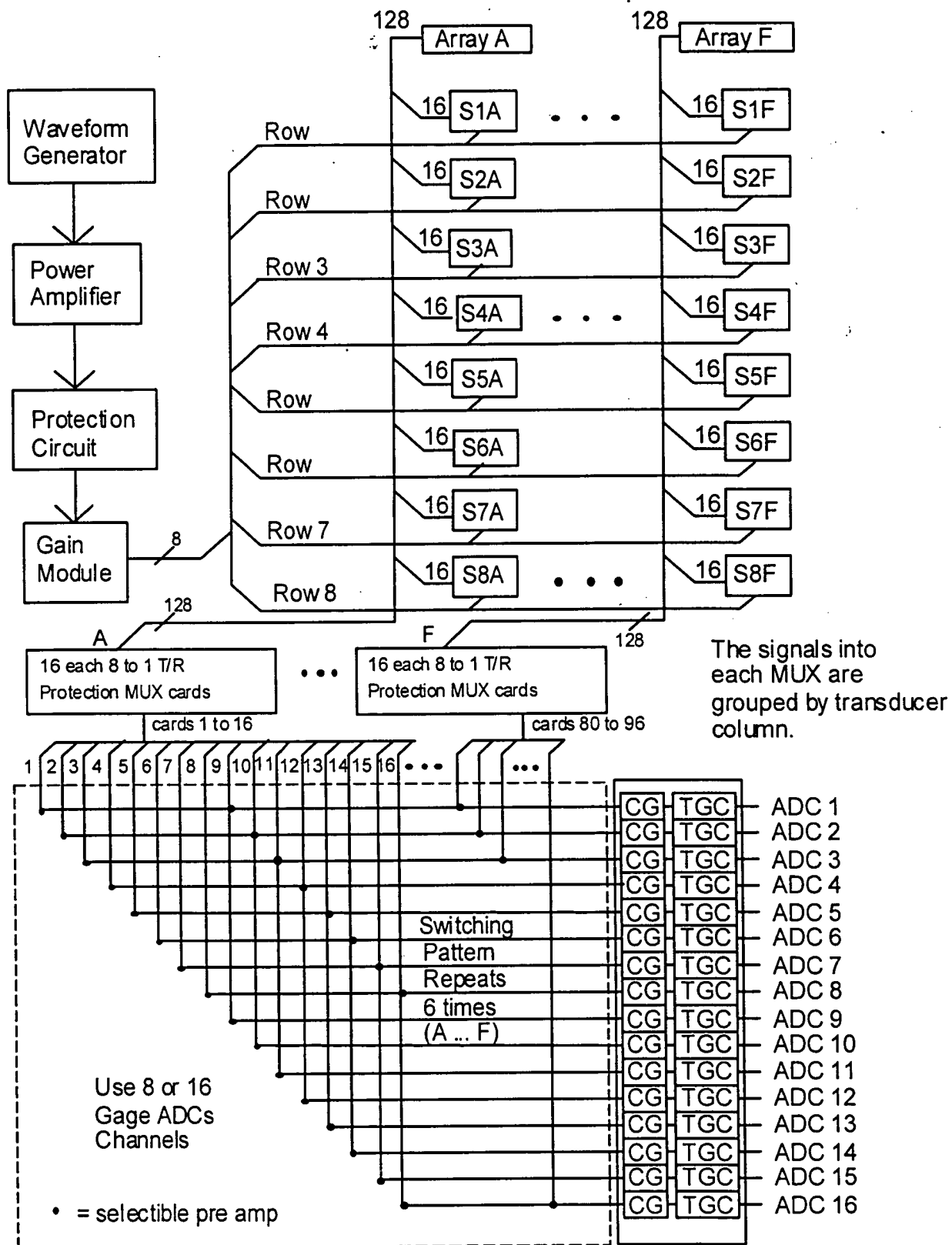


Fig. 3.b

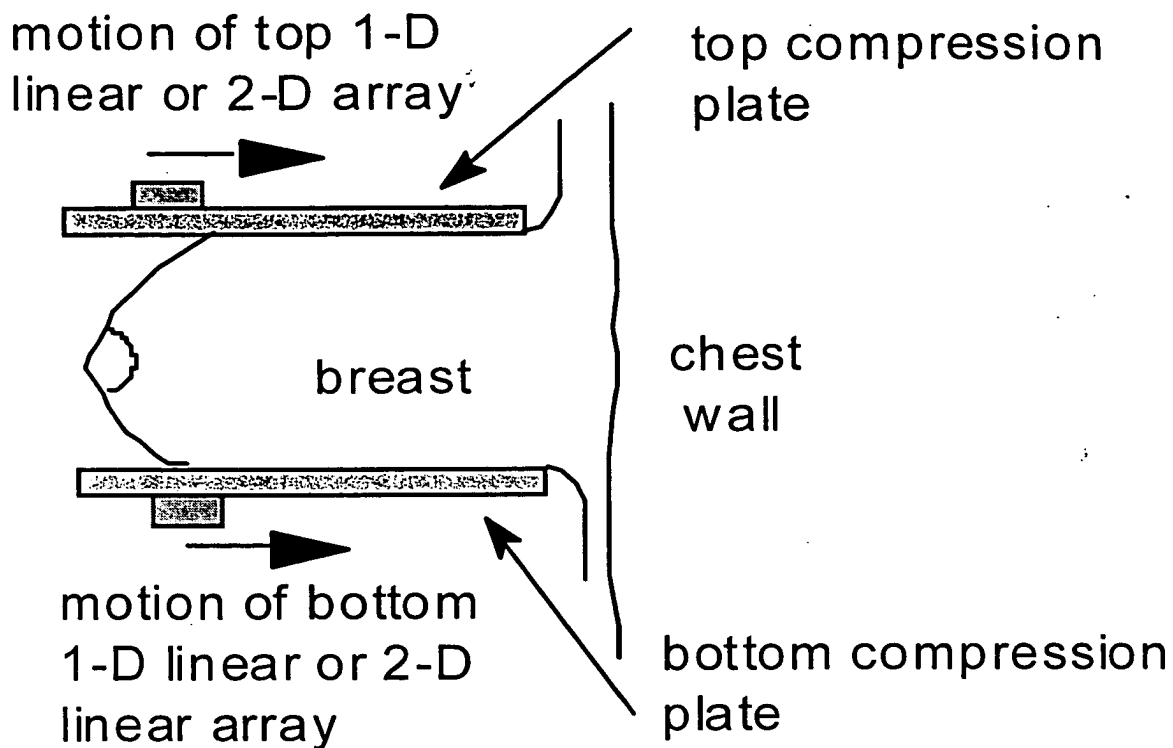


Fig. 4.a

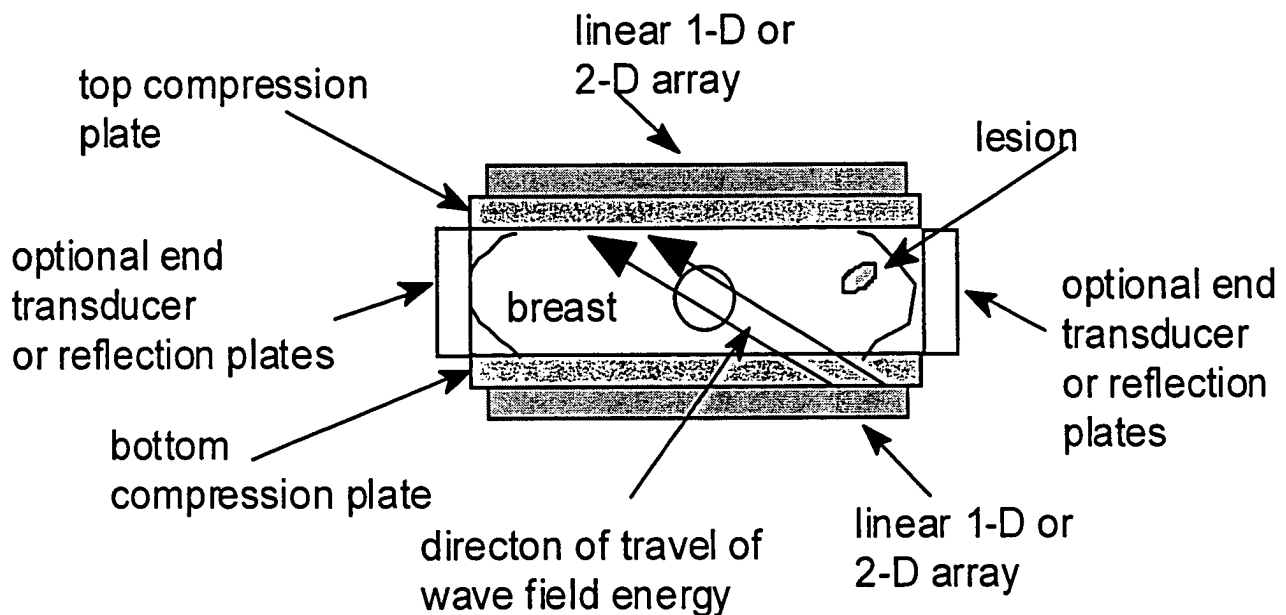


Fig. 4.b

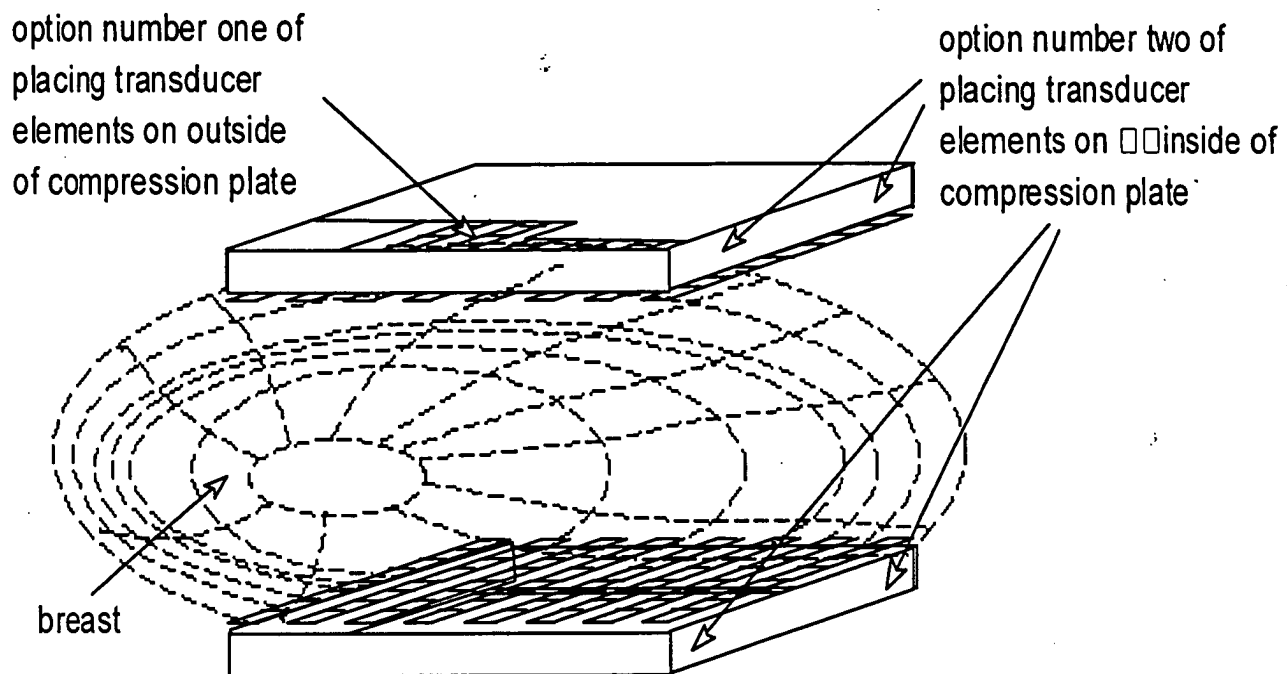


Fig. 4.c

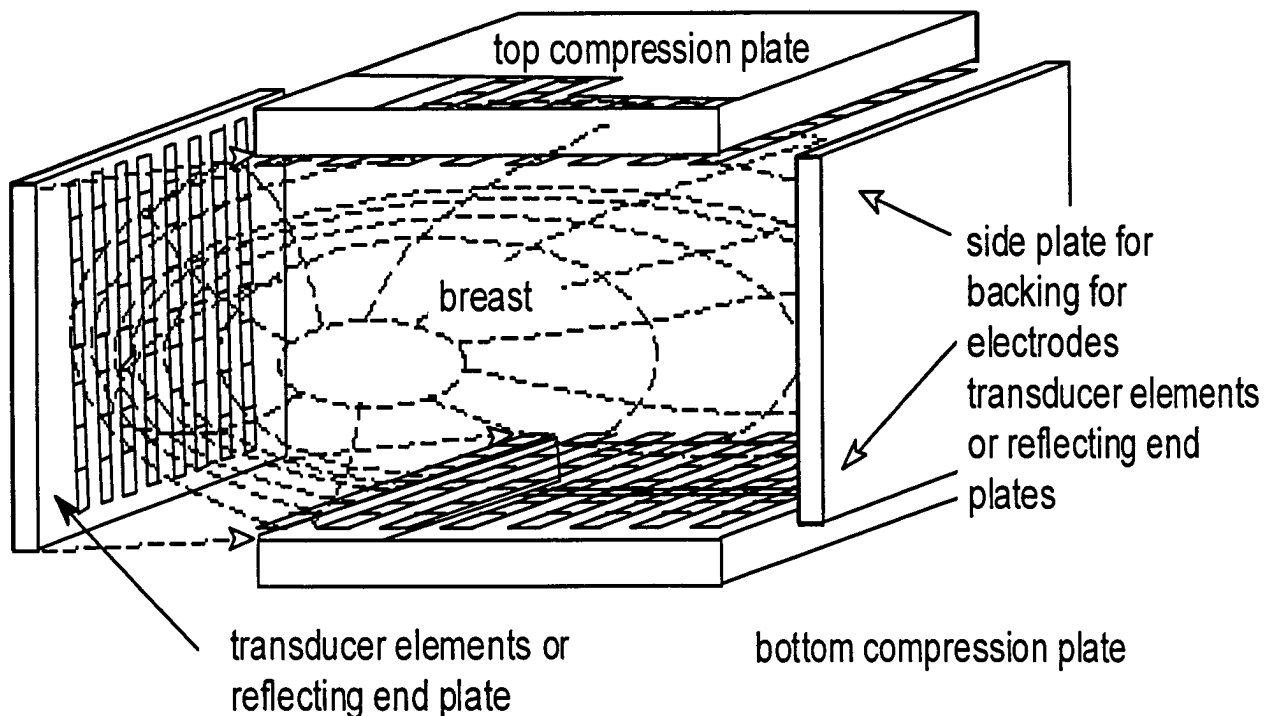


Fig. 4.d

Fig. 4.e

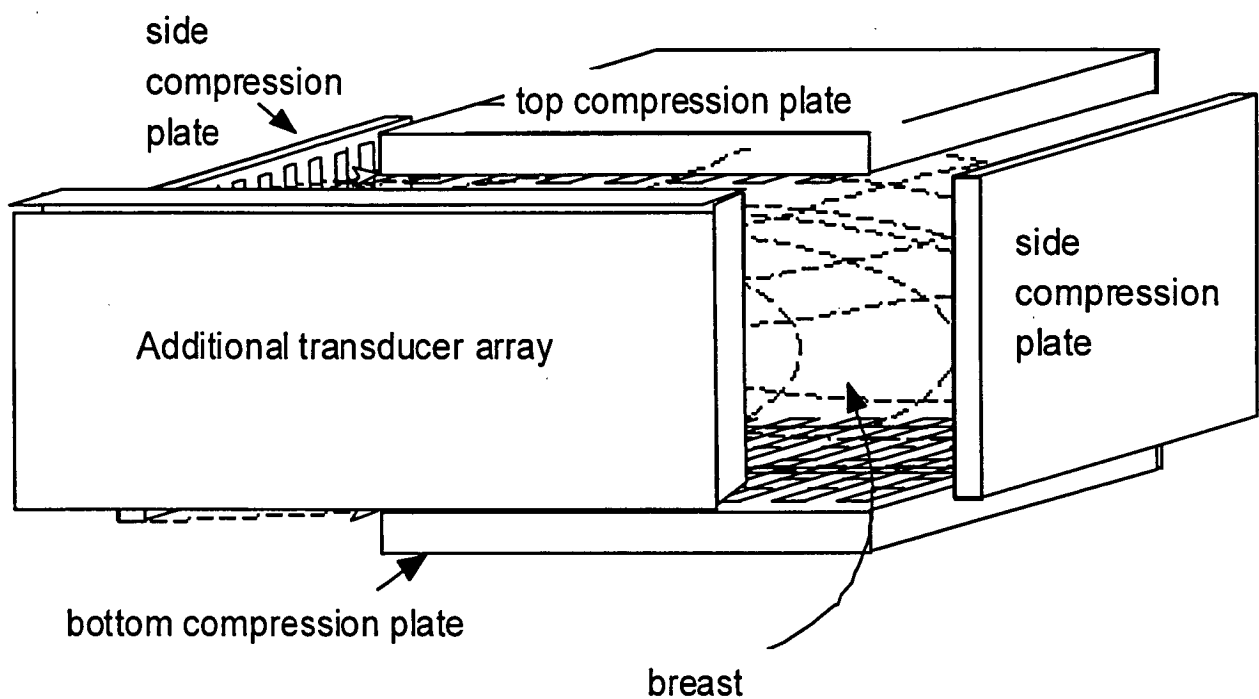


Fig. 5.a

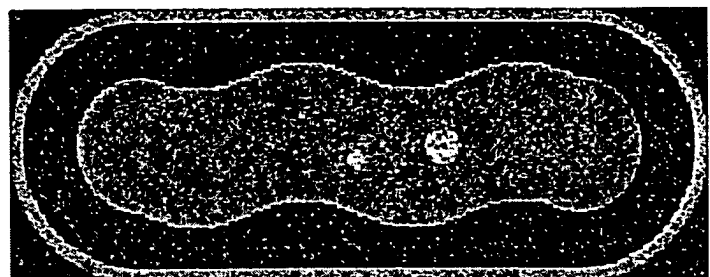


Fig. 5.b

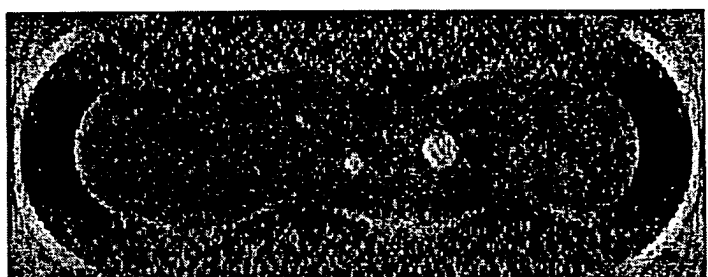


Fig. 5.c

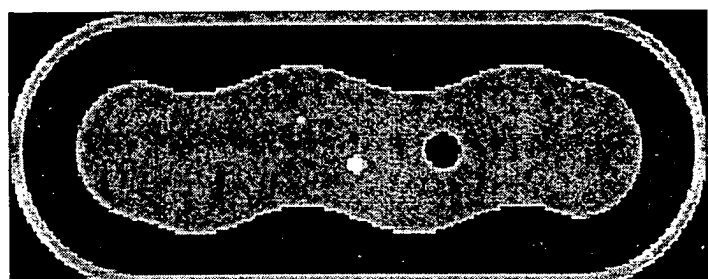


Fig. 5.d

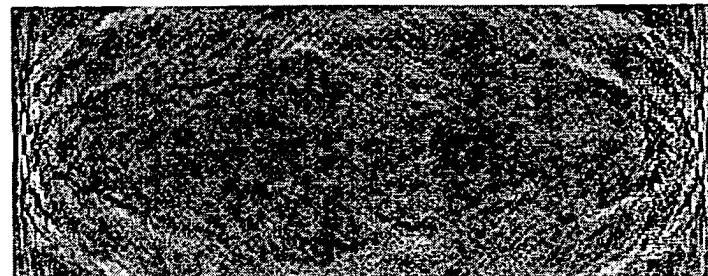


Fig. 5.e

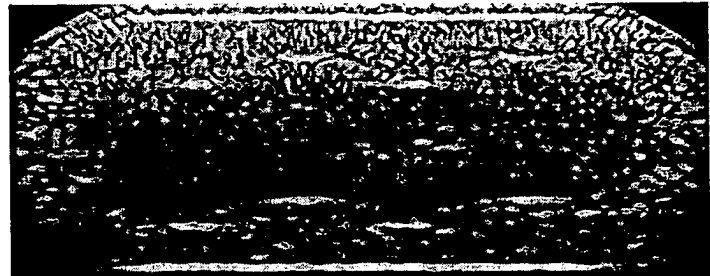


Fig. 6.a

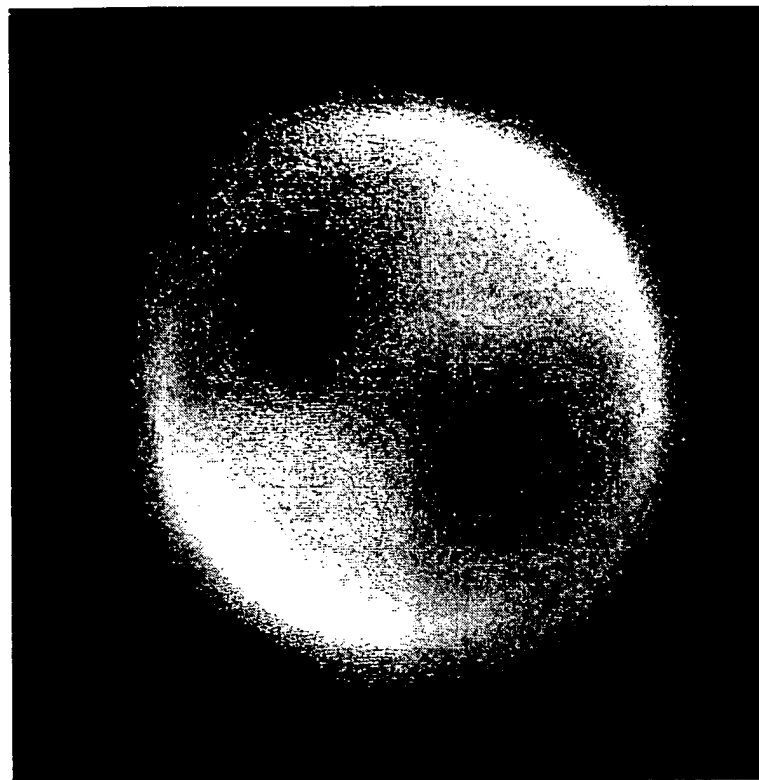


Fig. 6.b

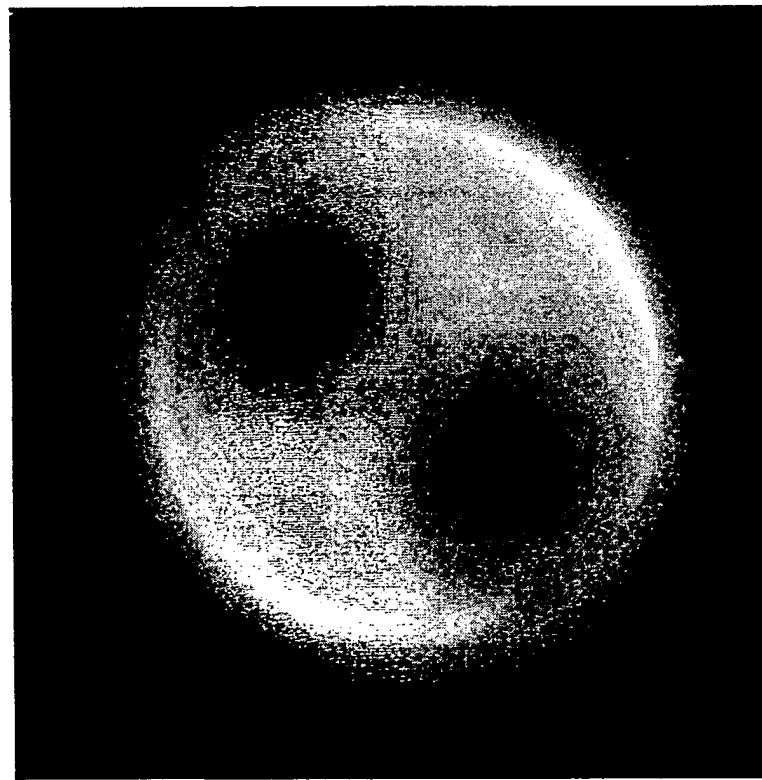


Fig. 7.a

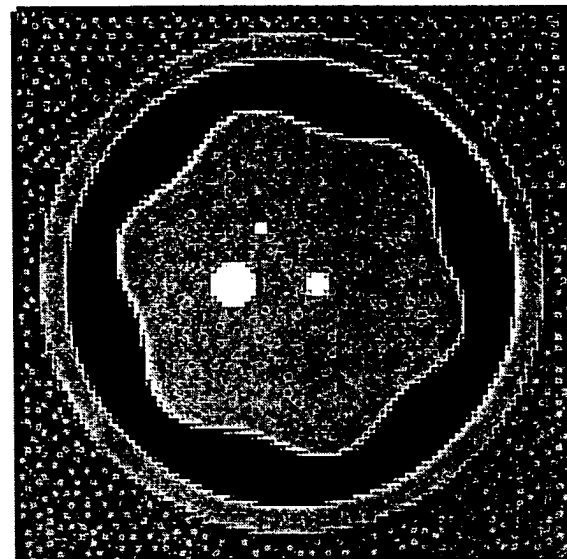
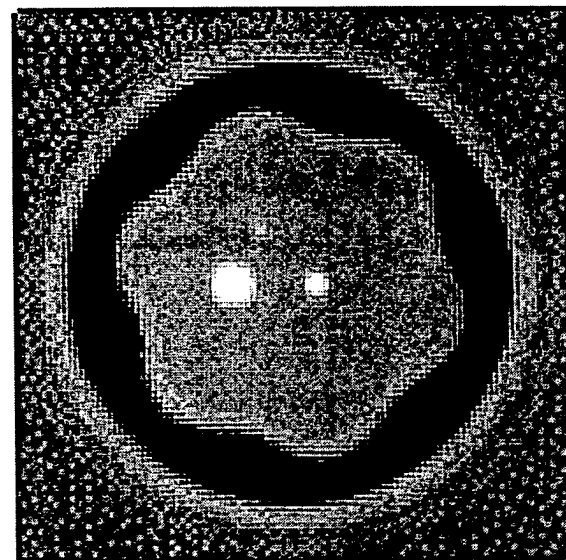


Fig. 7.b



comparison of the true (solid) and
reconstructed (dashed) c_0/c_{-1}
on the x-axis

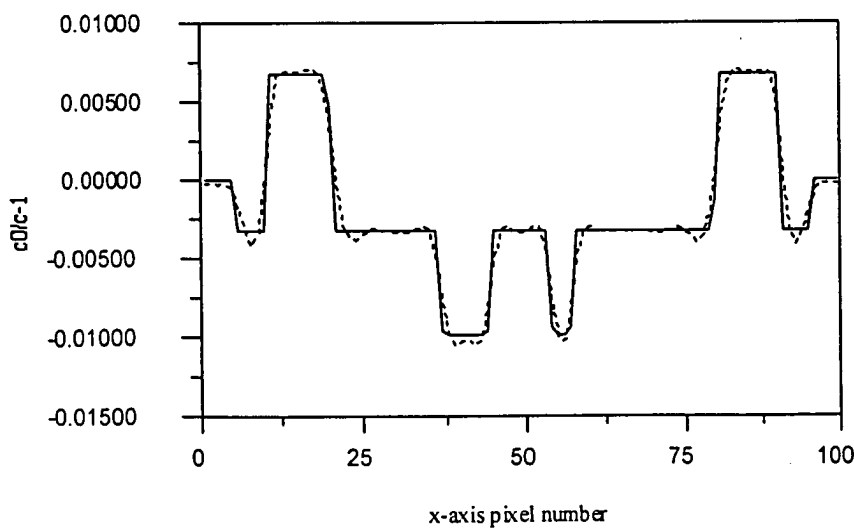


Fig. 7.c

Fig. 8.a

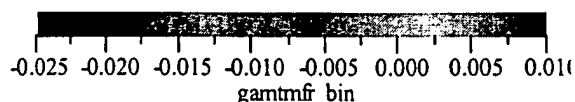
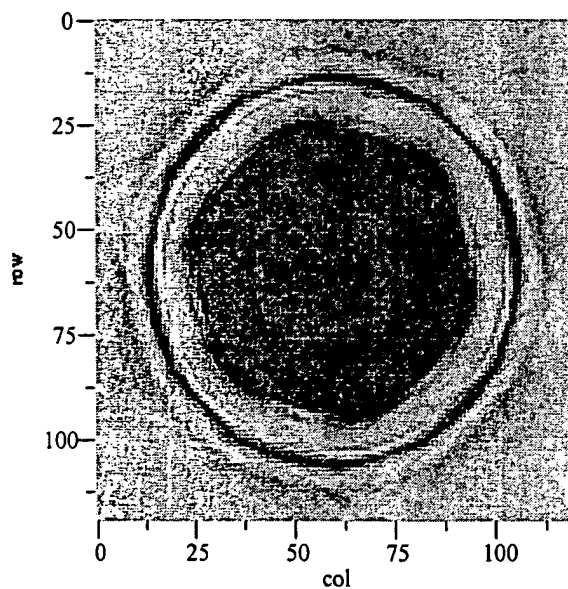
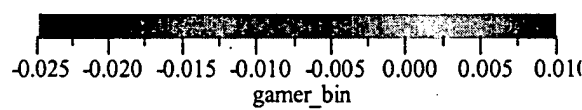
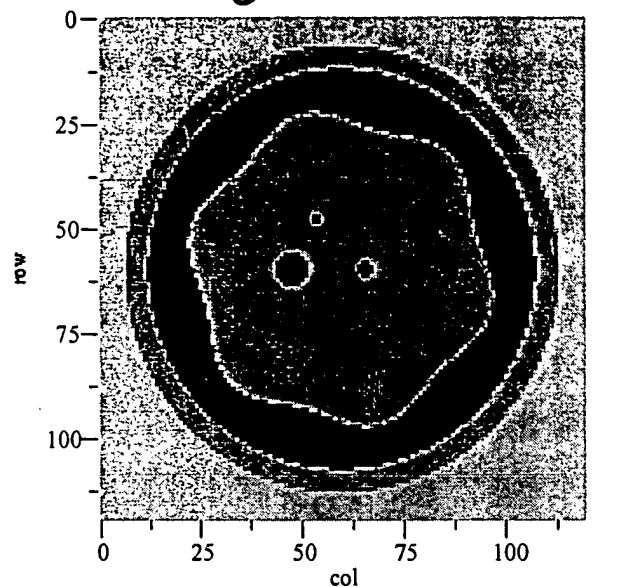


Fig. 8.b

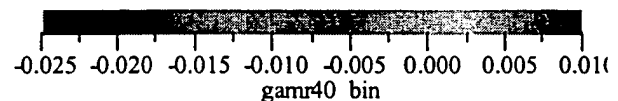
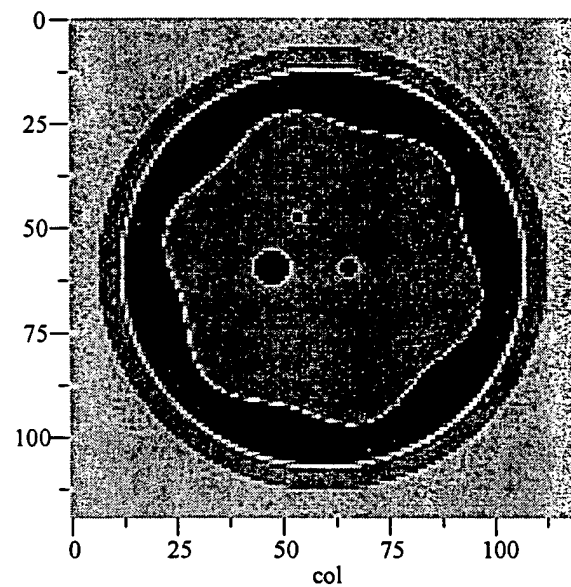


Fig. 8.c

Fig. 9.a

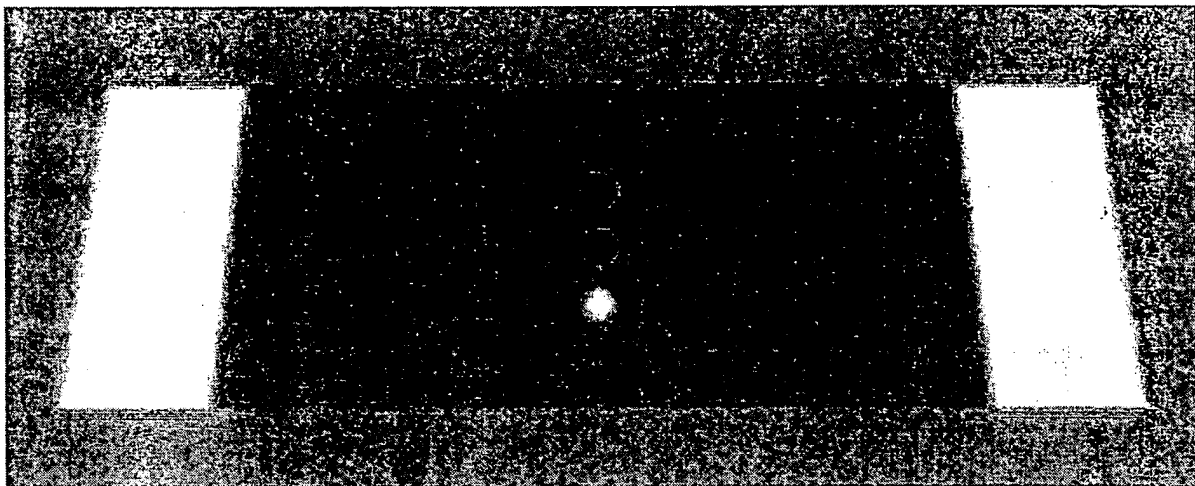


Fig. 9.b

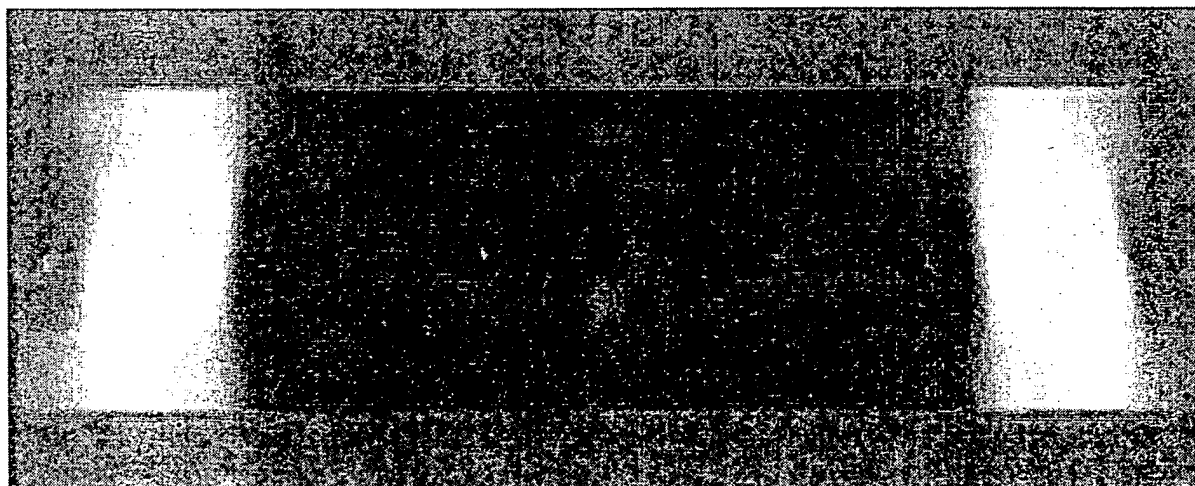


Fig. 10a

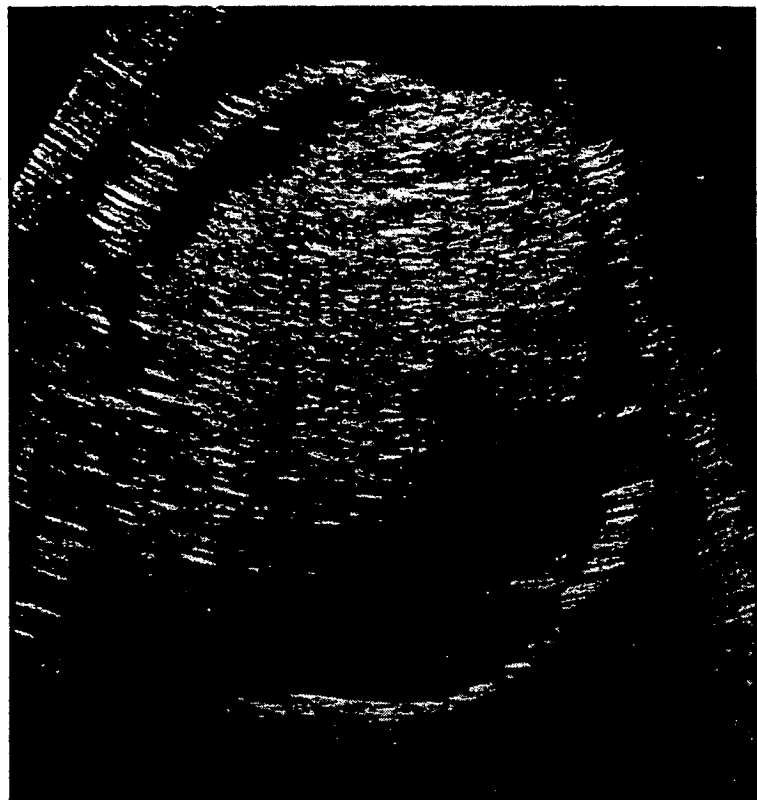


Fig. 10b

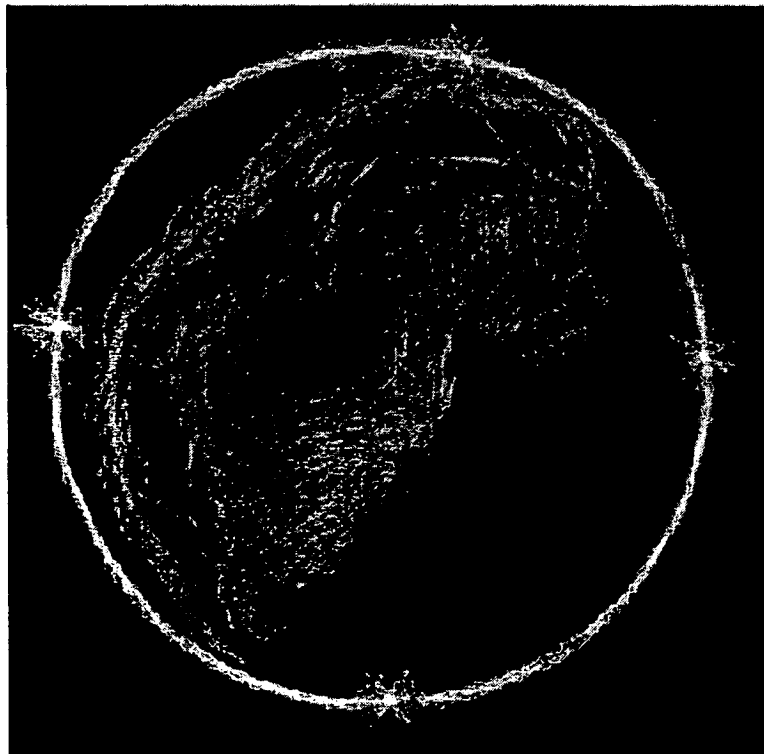


Fig. 11

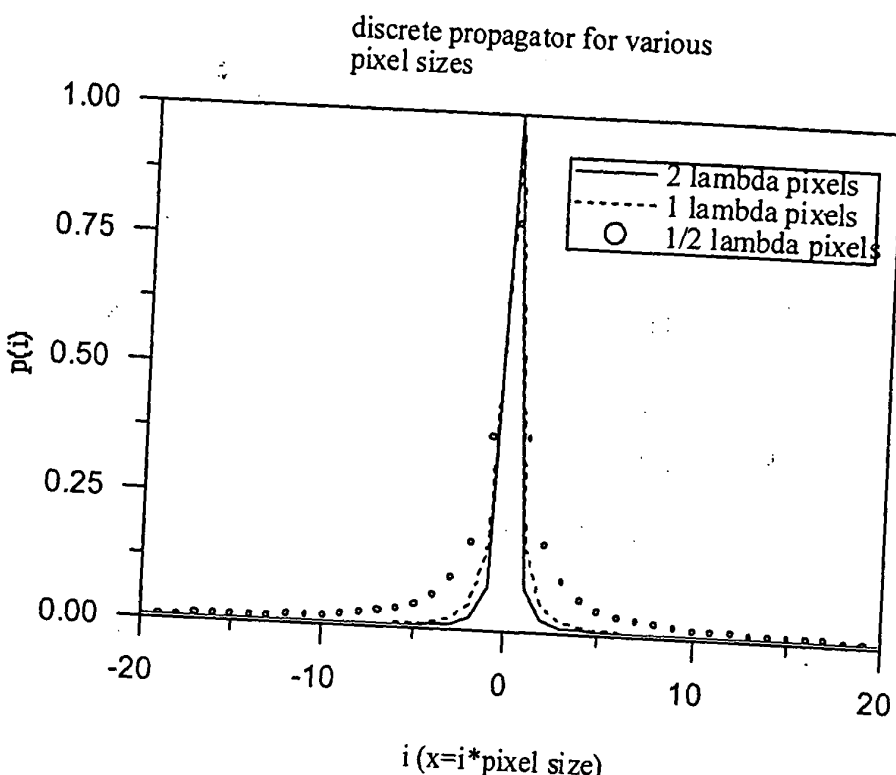


Fig. 12

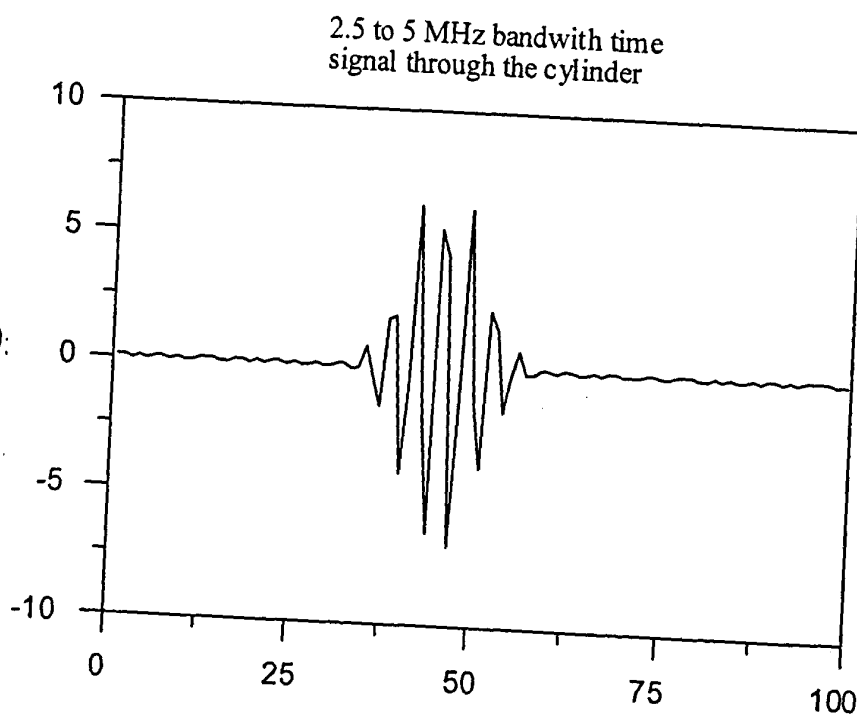


Fig. 13

